九州大学学術情報リポジトリ Kyushu University Institutional Repository

ガス用ポリエチレン管の耐衝撃性能およびその防護 材の効果に関する実験的研究

玉井, 宏樹 九州大学大学院工学研究院社会基盤部門:助教

吉武, 翔 九州大学大学院工学府建設システム工学専攻:修士課程

園田,佳巨 九州大学大学院工学研究院社会基盤部門: 教授

中島,健一郎 西部ガス株式会社総合研究所

他

https://hdl.handle.net/2324/4793195

出版情報: Journal of structural engineering. A. 64, pp.847-854, 2018-03. Japan Society of Civil Engineers

バージョン:

権利関係:



ガス用ポリエチレン管の耐衝撃性能およびその防護材の 効果に関する実験的研究

An experimental study on impact resistance capacity of polyethylene gas pipe and effect of its protecting sheet

玉井宏樹[†], 吉武翔^{*}, 園田佳巨^{**}, 中島健一郎^{***}, 中山歩^{***} Hiroki Tamai, Sho Yoshitake, Yoshimi Sonoda, Kenichiro Nakashima and Ayumi Nakayama

↑博(工), 九州大学大学院助教, 工学研究院社会基盤部門(〒819-0395 福岡県福岡市西区元岡 744 番地)
*九州大学大学院修士課程学生, 工学府建設システム工学専攻(〒819-0395 福岡県福岡市西区元岡 744 番地)
**工博, 九州大学大学院教授, 工学研究院社会基盤部門(〒819-0395 福岡県福岡市西区元岡 744 番地)
***西部ガス株式会社,総合研究所(〒819-0162 福岡市西区今宿青木 421 番地 4)

The use of polymeric material such as polyethylene (PE) as gas pipe made it possible to achieve significant profits in construction times and costs. PE gas pipe also has some advantages such as high flexibility and earthquake resistance capacity. However, according to the research of Ministry of Economy, many accidents regarding damage of it due to the impact of heavy equipment have been reported during the construction every year. To protect it from such accidents, the protecting sheet made of reinforced fiber and non-woven fabric has been invented but yet to have proved its impact resisting capacity qualitatively. In this study, impact loading tests were conducted. As a results, both the impact resistance capacity of PE gas pipe and the protecting effect of its protecting sheet were clarified.

Key Words: Polyethylene gas pipe, protecting material, impact loading test +-ワ-ド: ポリエチレン管, 防護材, 衝撃実験

1. 緒言

ガス用ポリエチレン管(以降, PE 管と称す)は、1979年にJISが制定されて以降、低圧導管材料として利用され始め、1995年の兵庫県南部地震において優れた耐震性が実証されたことや施工性の向上などから急速に普及し、現在では新設の低圧導管のほとんどに中密度 PE 管が用いられており、低圧導管材料のみならず、中圧 B 導管材料への適用についても検討が進められているり、PE 管は他のプラスチック管に比べて耐腐食性、可撓性、接合の安定性に優れており、経済性では塩化ビニル管に劣るものの、ガス導管材料として広く用いられている。一方で、経済産業省の調べによると、ガス事業者以外の者が行う建設工事等に伴い、ガス管の損傷を伴う事故が国内で毎年発生しており、平成22年から平成26年の5年

† 連絡著者 / Corresponding author E-mail: tamai@doc.kyushu-u.ac.jp 間で444 件に上ることがわかっている²⁾. 特に, バックホウなどの重機による掘削工事中に誤ってガス管を損傷する事故の場合, 被害が大きくなることがわかっており, このような事故に対する防護措置の必要性が高まっている. その防護措置の一つとして, 新設管に対しては防護材を敷設することが考えられる. 防護材を敷設することで掘削時におけるバックホウのバケットの衝撃から管の損傷を防げることなどが明らかにされているが, 具体的にどのような防護材をどの程度の厚みで敷設すべきかなど, 定量的には明らかにされていない. さらに, PE 管においては, 耐震性や可撓性に関する研究^{3)、4)}は多いものの, 衝突事故のように偶発的に荷重が作用する場合を想定した研究はほとんど存在していないため, 防護材を敷設する前の裸管の状態での耐衝撃性も明らかにされていない.

そこで、本研究では、既に施工実績のある防護材の一つである強化繊維と不織布から成る防護材に着目し、PE

管自体の耐衝撃性,ならびに,その防護材の衝撃緩衝効果を明らかにするために,PE材,防護材単体の基礎特性を把握した上で,実際の施工時に起こりうる衝突条件下における落錘式衝撃実験を実施した.

2. ポリエチレン材の基礎特性

2.1 ガス導管用ポリエチレンについて

PE 材は、JIS K6748:1995 によると、その密度により低密度、中密度、高密度に分類されるが、ガス導管用としては、主に中密度が用いられており、本研究でも中密度を対象とした。また、先に述べたように、PE 材は一般的に耐震性に優れるとともに、土中に直接埋設しても腐食の恐れがなく、クリープ破壊に至るまでの時間が非常に長い長寿命な材料である 5という長期性能に特色を有する材料であるといえるが、本研究では長期性能よりも、耐荷力に寄与する短期性能に着目し、今後の数値解析検討のための基礎資料を得る目的で、静的載荷時の PE 材の力学特性の把握を試みた。

2.2 各種物性試験概要及び結果

(1)引張試験

図ー1 に示すように、PE 材の引張特性を明らかにするため JIS K 6815-3 に準拠した引張試験を実施した.供試体はチャック間距離 80mm、標点間距離 25mm のダンベル試験片を用い、載荷速度は 100mm/min で一定とした. 試験は恒温槽を用いて常温である 23±2℃の環境下で実施した.まず、図ー2 に示す公称応力一公称ひずみ関係を見てわかるように、破断ひずみが 600%にまで達することから、PE 材は引張力に対する変形性能に優れる材料であることがわかった.次に、破断までの変形過程として、最大応力以降に試験体中央部でくびれが形成され、その後、そのくびれ部分では変形が起こりにくくなり、くびれが軸方向に伝播しつつ試験片の伸長が続き、原色が黄色だったものが白化し、最終的に破断に至ることが確認できた.なお、この白化は結晶性ポリマ特有のクレーズの8が形成された証である.(写真-1参照)

(2) 圧縮試験

図-3 に示すように PE 材の圧縮特性を明らかにするため JIS K 7181 を参考とした圧縮試験を実施した. 供試体には1辺が10mmの立方体状の試験片を用い, 載荷速度は1mm/minで一定とした. 引張試験と同様に, 試験は恒温槽を用いて常温である23±2℃の環境下で実施した. その結果として, 図-4 に公称応力一公称ひずみ関係を示す. この図より, 低圧縮時には荷重への抵抗は少なく粘性を有すること, また, 明確な降伏点は有さないものの, 降伏後は硬化することが確認された.

(3) ポアソン比及び引張弾性率の測定試験

(1)の引張試験では横ひずみの測定が困難であったため、別途、JIS K 7161-1 を参考にして長方形状の試験片

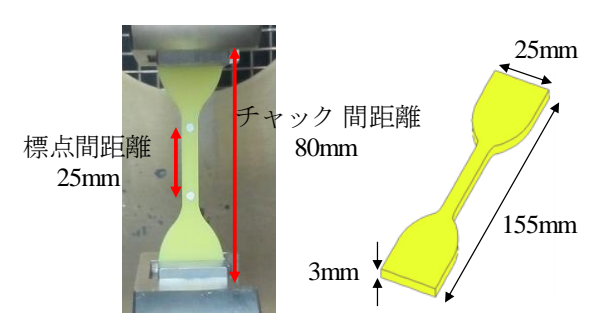


図-1 引張試験片及び設置状況

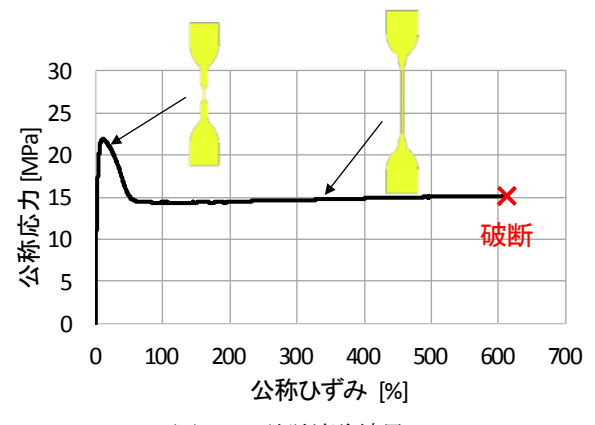


図-2 引張試験結果



写真-1 破断後の試験片状況

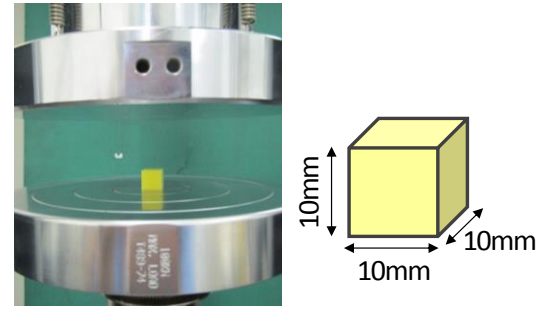


図-3 圧縮試験片及び設置状況

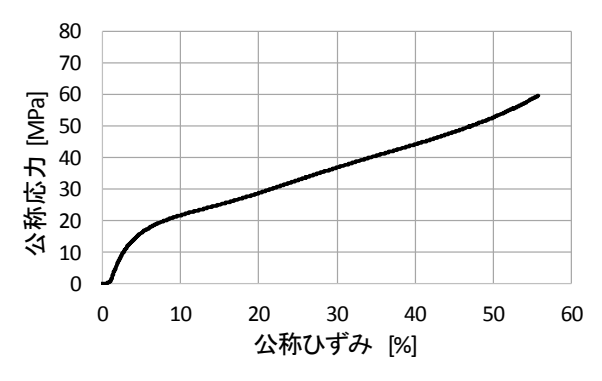


図-4 圧縮試験結果

を用いて引張試験を実施し、ポアソン比ならびに引張弾性率を測定した. なお、本試験においても、恒温槽を用いて常温である 23±2°Cの環境下で実施した. その結果、ポアソン比は 0.403、引張弾性率は 677.0MPa であることがわかった. この際、引張弾性率は JIS K7161-1 に従い、ひずみが 0.05%と 0.25%の 2 点間の傾きから算出した.

3. 防護材の基礎特性

3.1 対象とした防護材について

対象としたPE管用防護材は、図-5に示すように強化 繊維と不織布といった2種類の異なる材料の組み合わせ により構成される. 具体的には、ポリプロピレン製の強 化繊維シートと不織布を樹脂系接着剤により接着して おり、防護材は強化繊維の厚みが0.7mm以上、不織布の 厚みが6mm以上と規定されている. なお、不織布は綿 状のリサイクルPETを用いて作製されている.

3.2 実験概要

防護材の衝撃緩衝特性を明らかにするために,防護材の基礎特性として,厚み方向の圧縮特性を把握することは重要であるが,防護材の標準厚さは薄く,厚み方向の圧縮特性を正確に把握することは難しい.そこで,防護材を多層に重ねたものを供試体として静的圧縮実験を実施することで,防護材単層の特性の推定を試みた.図ー6に圧縮実験の概要ならびに供試体設置状況を示す.表-1に実験ケースを示すが,ゴム等の材料においては受圧面積が力学特性に影響を及ぼすため,本防護材においても層数に加え,寸法を実験パラメータとした.測定項目は荷重と変位であり,荷重は耐圧試験機(測定荷重レンジ500kN),変位は高感度変位計を用いて計測した.

3.3 実験結果および考察

まず、図-7 に供試体寸法 100mm×100mm、積層数 5 層、10 層、20 層の場合のケースの荷重一変位関係を代表として示す。この図より、層数が増加すると、初期高さが大きくなることで、発生変位が大きくなることがわかった。これは当たり前の傾向であるものの、図中の結果に対して変位を層数で除して整理したものを併せて載せているが、変位を層数で除すると層数の異なるケースはほぼ同一のラインに載り、他の積層数のケースでも同様の結果を示すことから、防護材単層の特性を推定できることがわかった。つまり、この防護材の場合、層数を乗じることで異なる層数の防護材の荷重一変位特性を推定可能であるといえる。

次に、横軸を初期高さに対する変位の割合である圧縮率(%)で整理して、他の受圧面積のケースも含めて整理したグラフを図-8に示す。これより、荷重-圧縮率関係は積層数や受圧面積に拠らないこと、また、圧縮率70%まではほぼ荷重に抵抗せず、それ以降に急激に荷重

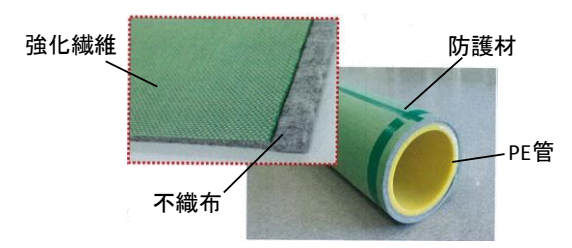


図-5 対象とした防護材

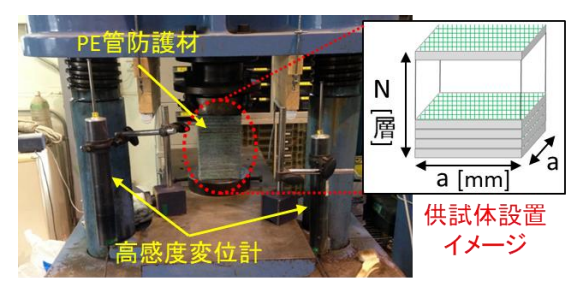


図-6 供試体設置状況図

表-1 実験ケース

寸法 a×a [mm]	積層数N [層]	寸法a×a [mm]	積層数N [層]	
100×100	3		5	
	5	75×75	10	
	7		15	
	10		5	
	15	150×150	10	
	20		15	

※全ケース各3回実施

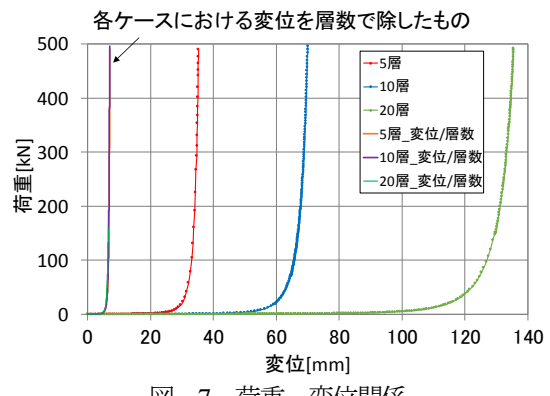


図-7 荷重-変位関係

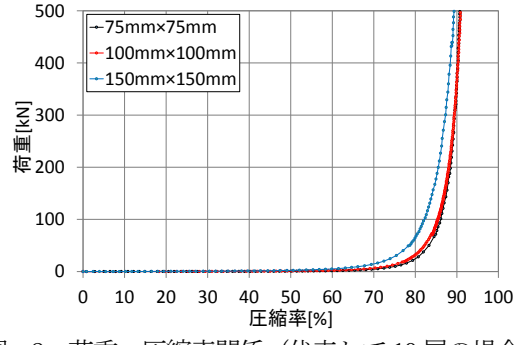


図-8 荷重-圧縮率関係(代表して10層の場合)

が立ち上がることが確認できた. つまり, この防護材は 高圧縮時に荷重に抵抗する機構を有することが確認で きた.

4. 落錘式衝撃実験による PE 管の耐衝撃性能ならびに防 護材の緩衝特性の検討

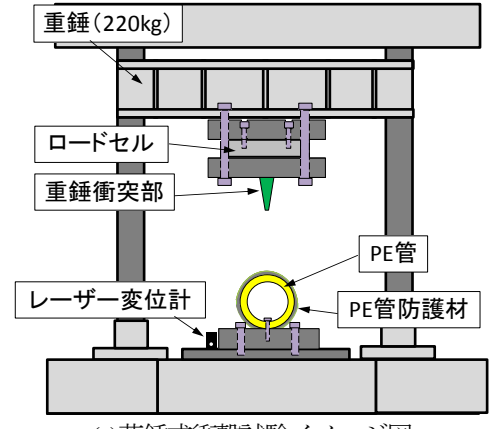
4.1 実験概要

PE 管および防護材で被覆した PE 管の耐衝撃性能を明 らかにするために、落錘式衝撃装置を用いて衝撃実験を 実施した. 図-9 に衝撃試験装置の概要ならびに供試体 設置状況を示す. 本試験装置では、ガイドレールにより 自由落下挙動時や衝突時の鋼製重錘の偏心を制御でき るようになっており、衝突速度と落下高さの関係は理論 値通りであることを実験開始前に確認している. 対象と した PE 管は, 管種 1 号 U の口径 150 であり, 寸法は図 -10に示す通りである. 載荷条件は、実物のバケット先 端を模した器具を取り付けた鋼製重錘を供試体のスパ ン中央に所定の高さから自由落下させるものとし、供試 体は衝撃載荷時の回転や跳ね上がりを防止するために 管の底面を M10 のボルトで底板に固定した. ガス導管は 実際には地中埋設管が多いため、本研究で仮定した実験 条件は PE 管に対して厳しい条件下であるといえる. 載 荷方法は単発衝撃ならびに一定速度の繰返し衝撃とし た. なお、載荷条件の設定については、4.2 節に詳細を 記す. PE 管裏面が破断した場合ならびに明確に貫通が見 られたときを終局とみなした. いくつかのケースでは、 載荷部裏面が固定部に接触寸前まで変形しても終局に 至らない場合もあったが、その時点で載荷を終了した. 測定項目は重錘衝撃力、重錘移動量、衝突部表面残留変 位,管厚変化率,変形状況とした.衝撃力は重錘側に取 り付けたロードセル (容量 100kN, 応答周波数 0.9kHz), 重錘移動量は非接触型レーザー式変位計(応答周波数 915Hz) により計測した. また, 図-11 に示す衝突部表 面残留変位と管厚変化率はいずれもデジタルノギスに より計測し、変形状況は高速度カメラによって得られた 映像により分析した.

4.2 載荷条件の設定

本研究では、実際の掘削工事で起こりうる事故を想定して、落錘式衝撃試験装置における載荷条件の設定を試みた. 実際の掘削工事において PE 管に作用する等価質量と衝突速度を明らかにする必要がある.

まず,等価質量の推定については,1)バックホウ(図ー12 参照)のバケット部のみの質量がそのまま等価質量として作用する,2)アーム部を含めたフロント部の機構全体の慣性能率を考慮してバケット部の等価質量を決める%などのことが考えられる.既往の研究で検討されている後者の方法では,フロント部を力学的に簡略化したモデルを仮定し,振動解析を行うことで地面への衝撃応



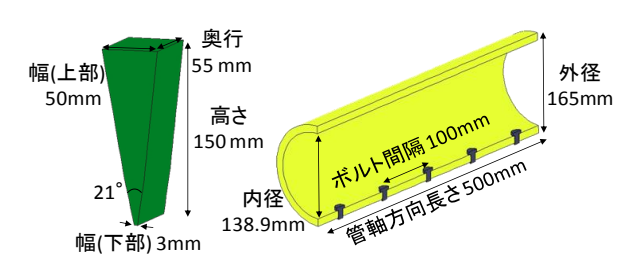
(a)落錘式衝撃試験イメージ図



(b)供試体設置図

(c)重錘衝突載荷部

図-9 落錘式衝撃試験概要図



(a) 重錘衝突部

(b) PE 管寸法

図-10 重鍾衝突部, PE 管の寸法



(a)載荷後の供試体

(b)載荷部の拡大図

図-11 衝突部表面残留変位と管厚変化率の定義

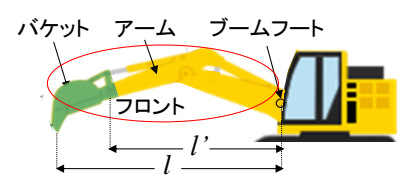


図-12 バックホウの模式図

力を算定しており、そのバケット部の等価質量は、

$$m = \frac{J - m'l'^2}{l^2} \tag{1}$$

で算出されるとしている。ここに、mはバケットの質量、 J はブームフート周りのフロントの慣性能率, m'はバケ ット部を除いたフロントの等価質量、1はブームフート からバケット先端の距離、 l'はブームフートからアーム とバケットの接合部までの距離を表す、そこで、実際の ガス工事で広く使われる後方超小旋回型バックホウを 想定し、バケットの容量を 0.45m3 と仮定したときの情報 を用いて等価質量を計算すると, バケットの質量が 218kg であるのに対して等価質量mは240kgとなる. ま た, 実際に工事で用いられる後方超小旋回型バックホウ のバケット容量が約0.1m3~0.45m3で、そのときの質量が 100~220kg であることを考えると、後者の方法で算定さ れる等価質量はほぼバケット部の質量と同程度になる ことがわかった、そこで、本研究ではバケット部の質量 として考え得る最大の220kg を重錘質量として設定した. 次に、掘削中に起こり得る衝突速度については、バッ クホウ操作者の熟練度によっても異なるため様々であ るが、一般的に掘削速度(地盤を掘る速度)が 0.38m/s と言われていること 10)、また、掘削作業ではコンクリー ト等を割る作業と異なり、高くても 50cm を超えた高さ からバケットを振り下ろすことは無いというヒヤリン グ調査結果などを踏まえると、想定衝突速度は 0.38~ 3m/s 程度であると推定される.

4.3 実験ケース

4.2 節を踏まえ、本研究で設定した実験ケースは表-2 の通りである。重鍾質量は220kgで一定とし、単発衝撃 載荷、一定速度繰返し衝撃載荷での衝突速度は2m/s、3m/sを基本とした。また、重鍾衝突部の衝突方向としては、より危険側の衝突条件であると想定される図-13(a)に示す方向Aを標準とし、比較のため、図-13(b)に示す方向Bも実施した。

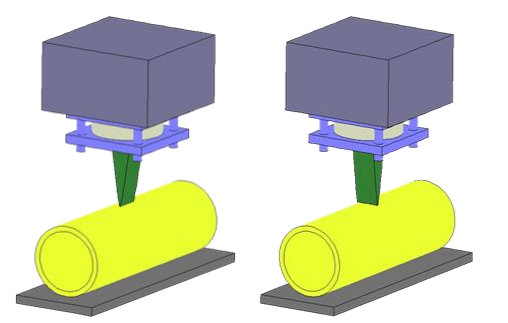
4.4 実験結果及び考察

(1) PE 管自体の変形及び破壊挙動について

PE 管自体の変形及び破壊挙動を考察するために、裸管に対して実施した静的載荷実験と衝突速度 3m/s の衝撃実験の結果として、荷重一変位関係の比較を図ー14、衝撃載荷時の変形状態を写真-2 に示す. これより、静的載荷と衝撃載荷ではほぼ同様な傾向で推移するものの、同一変位時の荷重は衝撃載荷の場合のほうが大きくなることが確認できた. これは、ひずみ速度効果によるものと推察される. 写真-2 を見てもわかるように、PE 管は可撓性に優れて大きく変形するが、除荷時にはほぼ元に戻ることから、PE 管自体のエネルギー吸収能が高いことも明らかとなった. また、両載荷に関わらず、衝突部

表-2 衝撃実験ケース

衝突速度	防護材層数	載荷方法	載荷方向	
[m/s]	[層]	戦刑力伝	単义1円ノノ1円	
	0	単発及び繰返し		
2.	1	単発及び繰返し		
2	2	単発及び繰返し		
	3	単発及び繰返し		
2.5	0	単発		
	1	単発	A (標準)	
	0	単発		
3	1	単発		
3	2	単発及び繰返し		
	3	単発及び繰返し		
3.5	2	単発		
4	3	単発		
2	0	単発	D	
	2	単発	В	



(a)載荷方向 A (標準) (b)載荷方向 B (90 度回転) 図-13 載荷方向について

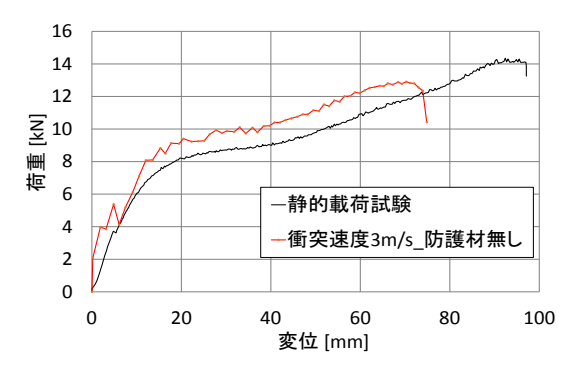


図-14 荷重-変位関係(静的と衝撃載荷の比較)

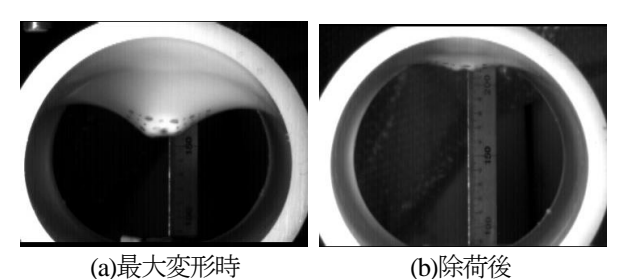


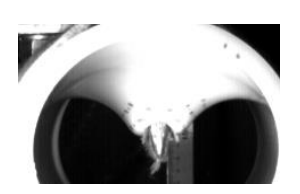
写真-2 衝撃載荷時のPE 管の変形状態

裏面の引張域において白化領域が確認され、その白化領域が断面内に拡がることにより、最終的に破断に至ることが確認できた.

(2) 単発衝撃に対する防護効果

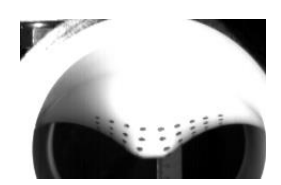
単発衝撃に対する防護材の効果に対して考察するために、衝撃力低減効果と局所変形抑制効果について検討した. 図-15 に衝突速度 2m/s の場合の重錘衝撃力波形の比較図を示す. この図に示されるように、最大衝撃力やその継続時間に対して防護材の有無やその積層数による影響はほとんど見られなかった. つまり、本研究で対象とした防護材は、衝撃力低減効果や荷重の分散効果はあまり有していないものと考える.

次に、図-16 に衝突速度 2m/s の場合の衝突部表面残 留変位と管厚変化率の結果,写真-3に防護材が無い場 合と防護材2層の場合の衝突部近傍断面図を示す. 衝突 部表面残留変位に着目すると, 防護材無しの場合では 10.2mm に対し、1層の場合では8.6mm、2層の場合では 7.3mm, 3層の場合では6.8mm というように、積層数が 増えるにつれて、低減できていることがわかる. また、 ガス管の品質評価に用いられる管厚変化率も同様な傾 向を示した. なお、ガス管の品質評価では管厚変化率が 20%を超えないことが規定されており、20%を超える場 合は破損とみなされるが、衝突速度 2m/s の場合では防護 材が無い場合では管厚変化率が 20%を超えているのに 対し、防護材を被覆することにより、その品質評価をク リアできることが確認できた. つまり, 本研究で対象と した防護材では強化繊維により衝突部の亀裂やきずと いった貫通に繋がる局所変形を十分に抑制する効果を 有するといえる. なお, 写真-4 に衝突速度 3m/s の場合 の最大変形図と防護材の損傷状況を示す. 衝突速度 3m/s の場合, 防護材が無い場合と防護材を1層被覆した場合





(a)防護材 1 層





(b)防護材 2 層





(c)防護材 3 層

写真-4 最大変形図と防護材の損傷状況 (3m/s)

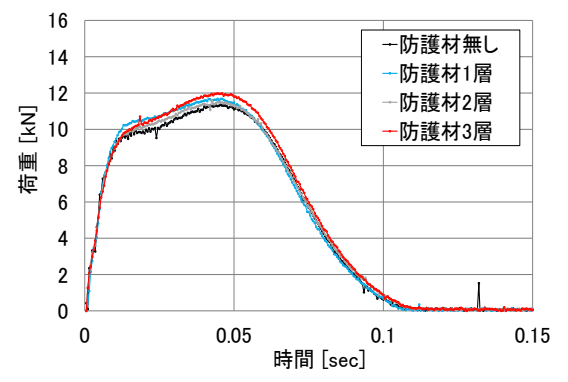


図-15 重錘衝撃力波形の比較図 (2m/s)

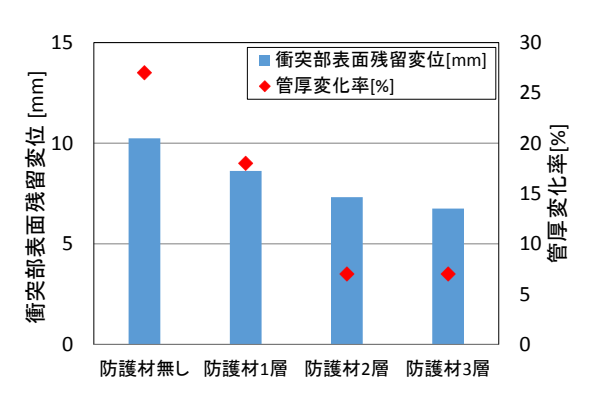


図-16 衝突部表面残留変位と管厚変化率 (2m/s)





(a)防護材無し

(b)防護材 2 層

写真-3 衝突部近傍断面図 (2m/s)

表-3 単発衝撃載荷における結果一覧

衣一3 早光側学戦何にわける結末一見					
衝突速度	防護材	管厚変化率	損傷状況**		
[m/s]	層数	[%]	PE 管	防護材	
	0	27	損傷		
2	1	18			
	2	7			
	3	7			
3	0	-	貫通	貫通	
	1	-	貫通	貫通	
	2	24	損傷	破損	
	3	15			
2.5	0	-	貫通	貫通	
	1	33	損傷	破損	
3.5	2	-	貫通	貫通	
4	3	35	損傷	破損	

※PE 管の「損傷」とは貫通はしていないが、クレーズの生成が生じ、裏面にクラックが生じたものを示す。また、防護材の「破損」は一部で強化繊維の破断が生じたものを示す。

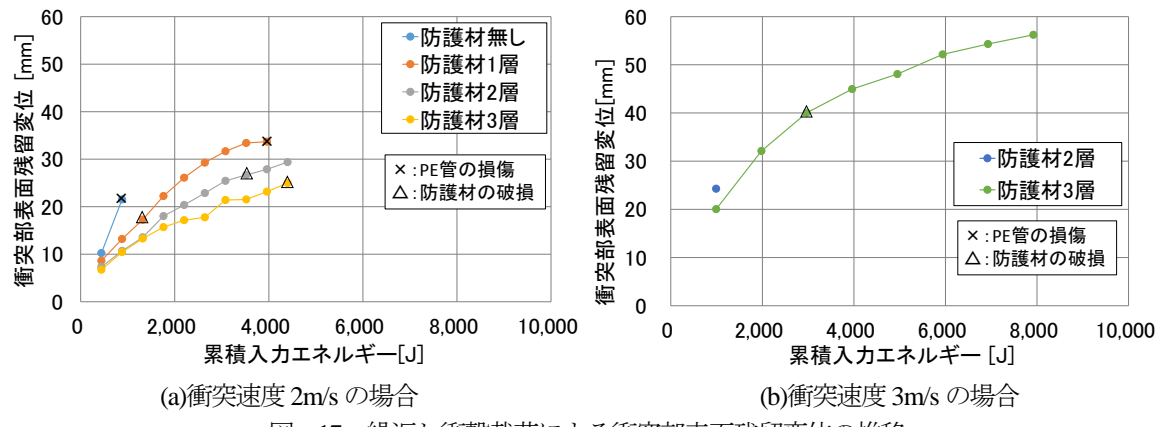


図-17 繰返し衝撃載荷による衝突部表面残留変位の推移

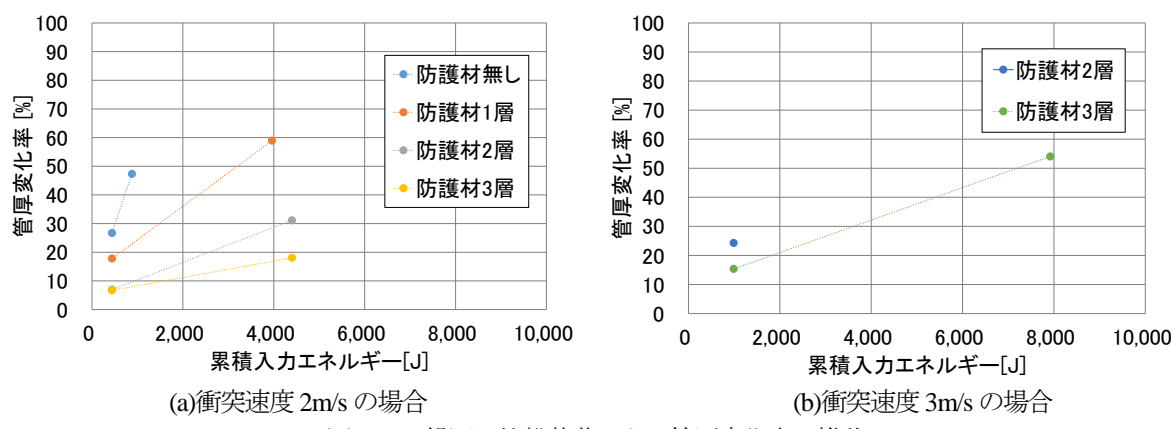


図-18 繰返し衝撃載荷による管厚変化率の推移

ではPE 管は貫通破壊したが、2 層以上被覆することにより貫通を抑制することができた. また、防護材の損傷状況としては、防護材 2 層の場合では若干強化繊維の破断が見られたが、防護材 3 層の場合ではほとんど無損傷状態であった.

最後に、表-3 に各ケースの結果を纏める.この表には、局所変形の指標となる管厚変化率、防護材の損傷状況, PE 管の損傷状況を載せている.この表より、衝突速度を0.5m/s 刻みで実施した本実験の結果として、貫通破壊が生じる限界衝突速度は、防護材が無い場合は2.5m/s、1層の場合は3m/s、2層の場合は3.5m/sとなり、3層の場合は衝突速度4m/sにおいても貫通破壊は生じなかった.4.2 節で述べたように掘削工事中に想定される衝突速度は0.38m/s~3m/s程度であることを考えると、本防護材で2層以上被覆すればPE 管の損傷は防げるものと考えられる.

(3) 繰返し衝撃に対する防護効果

繰返し衝撃に対する防護材の効果に対して考察する ために、局所変形を表す衝突部表面残留変位と管厚変化 率について、衝突回数と運動エネルギーの積で表される 累積入力エネルギーで整理した. ただし、累積入力エネ ルギーには重錘のリバウンドは考慮せず、初撃のみで算 定した. まず、図ー17(a)、(b)にそれぞれ衝突速度 2m/s、 3m/s の場合の衝突部表面残留変位の結果を示す. なお、

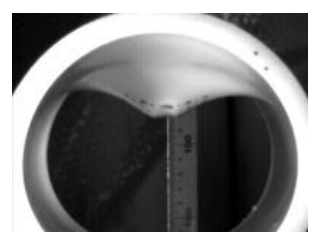
図中の△印は防護材の破損、×印は PE 管の損傷を示し ている. まず、衝突速度 2m/s の場合、積層数が多くなる ことで同一累積入力エネルギー時の衝突部表面残留変 位は小さくなる傾向にあり、さらに、積層数が多くなる につれて、防護材の破損や PE 管の損傷に至る累積入力 エネルギーが大きくなることから、防護材は繰返し衝撃 にも十分に有効であることが確認できた. また, 衝突速 度 3m/s の場合でも同様な傾向を示した. ただし, 図-17(a), (b)より, 累積入力エネルギーが同じであっても, 衝突速度が異なれば、衝突部表面残留変位は異なること から、累積入力エネルギーと PE 管の局所変形を関係付 けることは難しいと言える. 次に、図-18(a)、(b)にそれ ぞれ衝突速度 2m/s, 3m/s の場合の管厚変化率と累積入力 エネルギーの関係を示す. なお, 管厚変化率は PE 管を 切断後に計測する必要があるため、単発衝撃による結果 と繰返し衝撃の最終回後の結果のみを載せている. これ らの図より、防護材の積層数を増やすことで管厚変化率 を明らかに低減できていることが確認できた.

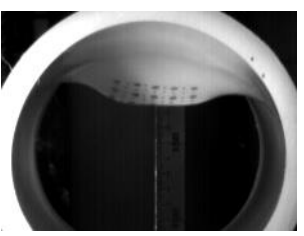
(4) バケット先端の衝突方向に関する検討

図-13(a), (b)に示すようにバケット先端の衝突方向の違いによる PE 管の変形挙動ならびに防護材の効果について考察する. 本実験においては、図-13(a)に示す載荷方向 A を標準と考えているが、実際の掘削時には様々な方向からの衝突が考えられるため、極端なケースとして

表-4 載荷方向による局所変形への影響

衝突速度	防護材	載荷方向	衝突部表面残留変位	管厚変化率	損傷	狀況*
[m/s]	層数[層]	戦争ノハリ	[mm]	[%]	PE 管	防護材
2	0	A	10.2	27	損傷	-
	2		7.3	7	-	-
	0	В	9.1	10	-	-
	2		6.8	5	-	-





(a)載荷方向 A

(b)載荷方向 B

写真-5 バケット先端部の載荷方向の違いによる影響

図-13(b)に示すように衝突方向を 90 度回転させた載荷方向 B のケースを実施して、その影響について調べた。その結果、表-4 に局所変形に関する結果を整理したものを、写真-5(a)、(b)に変形状況の比較図を示す。これらより、載荷方向 B で衝突させる場合には、載荷方向 A のケースと比べて、管厚変化率が小さくなり、写真-5 を見てもわかるように局所的な変形が抑制されることが確認できた。つまり、本研究において標準として実施した載荷方向 A がより危険側の衝突条件であり、この方向で実施した結果をベースに考えることが安全側の評価に繋がるものといえる。

5. まとめ

本研究により得られた成果は以下の通りである.

- 1) PE 材の基礎特性を明らかにした. また, 比較的厚 みの薄い防護材単層の厚み方向の圧縮特性を多層 積層供試体の圧縮特性から推定した. その結果, 対 象とした防護材は圧縮率 70%以上の高圧縮時に荷 重に抵抗する特性を有することが明らかとなった.
- 2) PE 管の耐衝撃性能として、ひずみ速度効果により 破断時の変位が静的載荷と比べて小さくなるもの の、大変形を伴う同様な変形過程を示し、衝突部裏 面の引張域において白化領域が確認され、その白化 領域が断面内に拡がることにより、最終的に破断に 至ることが確認できた.
- 3) 本防護材は衝撃力低減効果をあまり有していないものの、PE 管の局所変形抑制効果は十分に有していることが明らかとなった。実際の掘削工事で起こりうる事故を想定して設定した衝突条件下における単発衝撃実験の結果、本防護材で2層以上被覆すればPE 管の損傷は防げると考えられる。

- 4) 本防護材は繰返し衝撃にも十分有効であることが確認できた.
- 5) 管軸に沿った方向で重錘衝突部を載荷する載荷方 向 A はより危険側の衝突条件であることが明らか となり、この方向で実施した結果をベースに考える ことが安全側の評価に繋がるものといえる.

今後は、本研究で得られた成果をもとに数値解析による検討を実施し、他の口径に対する検討や地中埋設の条件下での検討を実施していく必要があると考える.

参考文献

- 1) 高圧ガス保安協会:ガス用ポリエチレン管技術資料, 第2改訂版,2013
- 2) 経済産業省,建設工事等におけるガス管損傷事故の防止について,平成28年1月
- 3) 塩浜裕一, 坂本宏昭: 水道配水用ポリエチレン管の耐震性能, 日本地震工学会論文集, 第15巻, 第7号(特集号), 2015
- 4) 建設設備用ポリエチレンパイプシステム研究会:建設設備用ポリエチレン管技術説明資料,2009年3月
- 5) 西村寛之,川口隆文:プラスチックパイプにおける機械的長期特性評価,マテリアルライフ学会誌,18[1],23~28,2006年1月
- 6)飯田昌造, 坂見宏: 圧延ポリエチレンのネック延伸, 高分子論文集, Vol.34, No.7, 483-489
- 7)高橋順一:結晶性ポリマにおけるクレーズ進展挙動の モデル化およびそれを用いた破壊予測シミュレーショ ン,慶応義塾大学大学院理工学研究科学位論文,2013(未 公刊資料)
- 8) Ming-ming Xu, Guang-yan Huang, Shun-shan Feng, Graham J. McShane and William J. Stronge: Static and Dynamic Properties of Semi-Crystalline Polyethylene, Polymers 2016, 8, 77
- 9) 久保寺敬蔵: ドラグショベルフロントの衝撃応力, 日 立評論 1964 年 10 月号
- 10) 安国明:油圧ショベルの最適設計に関する研究,京都大学大学院学位論文,1989 (未公刊資料)

(2017年9月25日受付) (2018年2月1日受理)